

Zeitschrift: Eclogae Geologicae Helvetiae
Herausgeber: Schweizerische Geologische Gesellschaft
Band: 78 (1985)
Heft: 2

Artikel: A correlation of the Tethyan Maiolica Formation of the Breggia section (southern Switzerland) with Early Cretaceous oozes of Site 534A, DSDP Leg 76 in the western Atlantic
Autor: Renz, Otto / Habicht, Konrad
Anhang: Plates
Autor: [s.n.]
DOI: <https://doi.org/10.5169/seals-165662>

Nutzungsbedingungen

Die ETH-Bibliothek ist die Anbieterin der digitalisierten Zeitschriften auf E-Periodica. Sie besitzt keine Urheberrechte an den Zeitschriften und ist nicht verantwortlich für deren Inhalte. Die Rechte liegen in der Regel bei den Herausgebern beziehungsweise den externen Rechteinhabern. Das Veröffentlichen von Bildern in Print- und Online-Publikationen sowie auf Social Media-Kanälen oder Webseiten ist nur mit vorheriger Genehmigung der Rechteinhaber erlaubt. [Mehr erfahren](#)

Conditions d'utilisation

L'ETH Library est le fournisseur des revues numérisées. Elle ne détient aucun droit d'auteur sur les revues et n'est pas responsable de leur contenu. En règle générale, les droits sont détenus par les éditeurs ou les détenteurs de droits externes. La reproduction d'images dans des publications imprimées ou en ligne ainsi que sur des canaux de médias sociaux ou des sites web n'est autorisée qu'avec l'accord préalable des détenteurs des droits. [En savoir plus](#)

Terms of use

The ETH Library is the provider of the digitised journals. It does not own any copyrights to the journals and is not responsible for their content. The rights usually lie with the publishers or the external rights holders. Publishing images in print and online publications, as well as on social media channels or websites, is only permitted with the prior consent of the rights holders. [Find out more](#)

Download PDF: 10.04.2026

ETH-Bibliothek Zürich, E-Periodica, <https://www.e-periodica.ch>

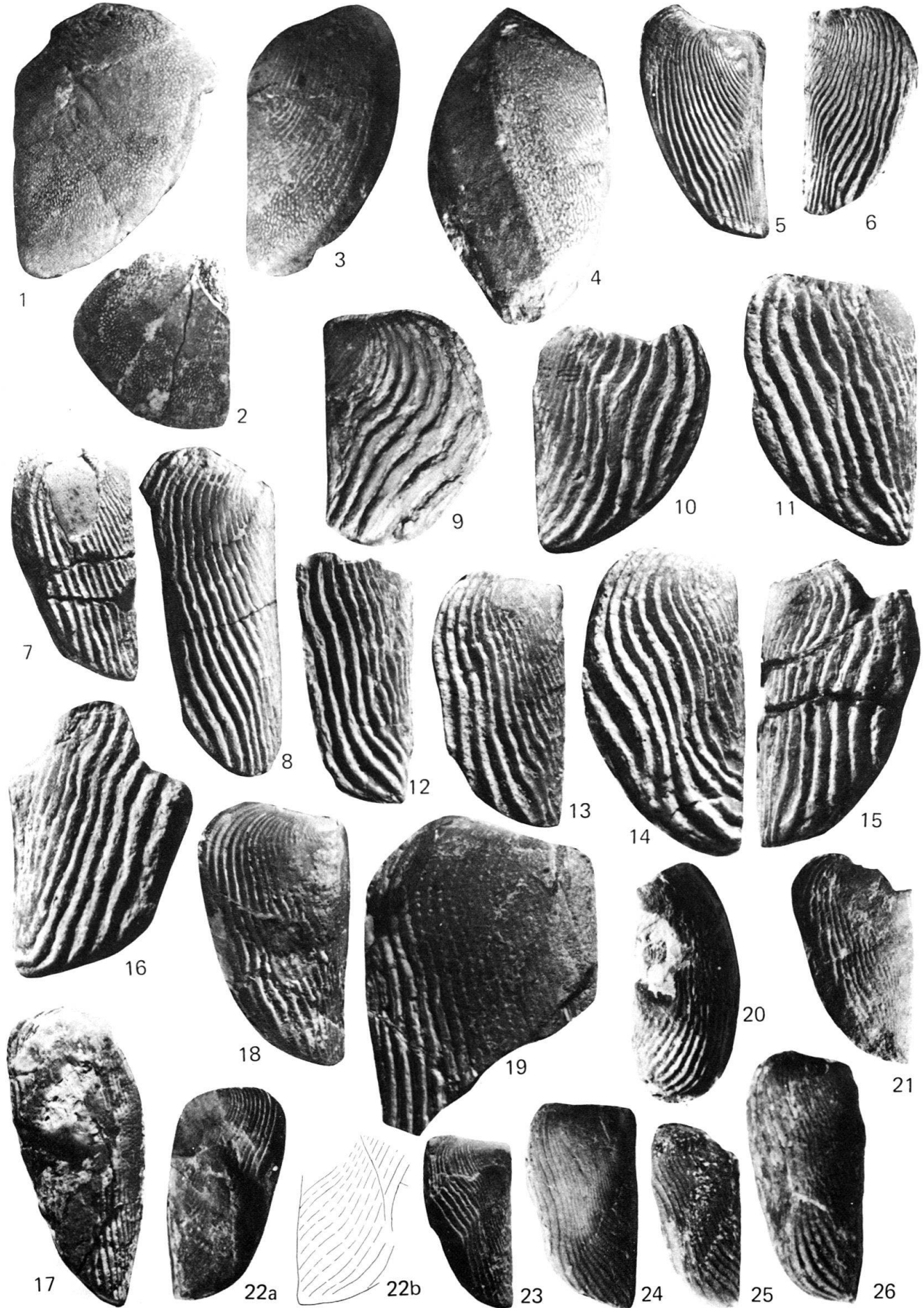


Plate 2

Valanginian continued

Fig. 1	<i>Lamellaptychus mortilleti</i> (P ICTET & LORIOL) 34.2 m (28 m), J30754, 3×.	p. 397	Fig. 17	<i>Lamellaptychus bahamensis</i> RENZ 47 m (39 m), J30797, 3×.	p. 403
Fig. 2	<i>Lamellaptychus mortilleti</i> (P ICTET & LORIOL) 34.2 m (28 m), J30895, 3×.	p. 397	Fig. 18	<i>Lamellaptychus bahamensis</i> RENZ 70 m (58 m), J30798, 3×.	p. 403
Fig. 3	<i>Lamellaptychus</i> aff. <i>mortilleti</i> (P ICTET & LORIOL) 45 m (37 m), J30756, 3×.	p. 397	Fig. 19	<i>Lamellaptychus bermudensis levis</i> , new variety 50 m (42 m), J30783, 3×, holotype	p. 401
Fig. 4a, b	<i>Lamellaptychus mortilleti</i> (P ICTET & LORIOL), juvenile 53 m (44 m), MB204, J30759, 2×.	p. 397	Fig. 20	<i>Lamellaptychus bermudensis levis</i> , new variety 46 m (38 m), MB203, J30782, 2×, paratype	p. 401
Fig. 5	<i>Lamellaptychus mortilleti</i> (P ICTET & LORIOL) 50 m (42 m), J30758, 2×.	p. 397	Fig. 21	<i>Lamellaptychus bermudensis</i> RENZ 72 m (60 m), J30903, 2×.	p. 400
Fig. 6	<i>Lamellaptychus lorioli</i> RENZ 30 m (25 m), J30761, 2×.	p. 398	Fig. 22	<i>Lamellaptychus bermudensis</i> RENZ 50 m (42 m), J30906, 2×.	p. 400
Fig. 7	<i>Lamellaptychus helveticus</i> new form, holotype 30 m (25 m), J30762, 2×.	p. 398	Fig. 23	<i>Lamellaptychus bermudensis</i> RENZ 50 m (42 m), J30905, 2×.	p. 400
Fig. 8	<i>Lamellaptychus helveticus</i> new form, paratype 1 30 m (25 m), J30763, 2×.	p. 398	Fig. 24	<i>Lamellaptychus bermudensis</i> RENZ 50 m (42 m), J30904, 2×.	p. 400
Fig. 9	<i>Lamellaptychus helveticus</i> new form, paratype 2 30 m (25 m), J30764, 2×.	p. 398	Fig. 25	<i>Lamellaptychus</i> aff. <i>retroflexus</i> TRAUTH 50 m (42 m), J30907, 2×.	p. 402
Fig. 10	<i>Lamellaptychus lombardicus longus</i> new name 31.5 m (26.5 m), J30766, 2×.	p. 399	Fig. 26	<i>Lamellaptychus</i> aff. <i>retroflexus</i> TRAUTH 62 m (52 m), J30788, 2×.	p. 402
Fig. 11	<i>Lamellaptychus lombardicus</i> new form 31.5 m (26.5 m), J30765, 2×.	p. 398	Fig. 27	<i>Lamellaptychus retroflexus</i> TRAUTH 62 m (52 m), J30789, 2×.	p. 402
Fig. 12	<i>Lamellaptychus trauthi</i> new form, holotype 34 m (28 m), J30767, 3×.	p. 399	Fig. 28	<i>Lamellaptychus retroflexus</i> TRAUTH 65 m (54 m), J30791, 2×.	p. 402
Fig. 13	<i>Lamellaptychus trauthi</i> new form, paratype 34 m (28 m), MB201, J30768, 2×.	p. 399	Fig. 29	<i>Lamellaptychus retroflexus</i> TRAUTH 71 m (59 m), J30793, 2×.	p. 402
Fig. 14	<i>Lamellaptychus</i> ? new form 46 m (38 m), MB203, J30781, 2×.	p. 401	Fig. 30	<i>Lamellaptychus retroflexus</i> TRAUTH 86 m (71 m), J30795, 3×.	p. 402
Fig. 15a, b	<i>Lamellaptychus planus</i> new form 45.5 m (37.5 m), J30780, 2×.	p. 400	Fig. 31	<i>Lamellaptychus retroflexus</i> TRAUTH 75 m (63 m), J30794, 3×.	p. 402
Fig. 16	<i>Lamellaptychus elegans</i> RENZ 47 m (39 m), J30784, 3×.	p. 402	Fig. 32	<i>Lamellaptychus retroflexus</i> TRAUTH 57 m (47 m), MB205, J30787, 2×.	p. 402
			Fig. 33	<i>Lamellaptychus challengerii</i> RENZ 50 m (42 m), J30801, 3×.	p. 403



Plate 3

Valanginian continued					
Fig. 1	<i>Lamellaptychus challenger</i> RENZ 62 m (51 m), MB210, J30802, 2 ×.		Fig. 15a, b	<i>Lamellaptychus</i> aff. <i>symphysocostatus</i> TRAUTH 62 m (51 m), MB209, J30836, 2 ×, 15a slightly enlarged	p. 408
Fig. 2	<i>Lamellaptychus challenger</i> RENZ 51 m (53 m), J30803, 3 ×.	p. 403	Fig. 16	<i>Lamellaptychus herithae</i> (WINKLER) 54 m (45 m), J30822, 2 ×.	p. 405
Fig. 3	<i>Lamellaptychus subdidayi</i> TRAUTH 59 m (49 m), MB206, J30833, 3 ×.	p. 403	Fig. 17	<i>Lamellaptychus herithae</i> (WINKLER) 62 m (51 m), MB209, J30823, 2 ×.	p. 405
Fig. 4	<i>Lamellaptychus</i> aff. <i>aplanatus</i> GILLIÉRON 54 m (45 m), J30808, 3 ×.	p. 404	Fig. 18	<i>Lamellaptychus herithae</i> (WINKLER) 68 m (56 m), J30824, 1 ×.	p. 405
Fig. 5	<i>Lamellaptychus aplanatus</i> GILLIÉRON 71 m (59 m), J30812, 3 ×.	p. 403	Fig. 19	<i>Lamellaptychus</i> aff. <i>noricus</i> (WINKLER) 57 m (47 m), MB205, J30832, 2 ×.	p. 407
Fig. 6	<i>Lamellaptychus aplanatus</i> GILLIÉRON 75 m (63 m), J30813, 2 ×.	p. 402	Fig. 20a, b	<i>Lamellaptychus carinatus</i> new form 59 m (49 m), MB206, J30835, 2 ×.	p. 408
Fig. 7	<i>Lamellaptychus</i> aff. <i>aplanatus</i> GILLIÉRON 75 m (63 m), J30814, 2 ×.	p. 403	Fig. 21	<i>Lamellaptychus ambiguus</i> RENZ 58 m (47 m), J30831, 2 ×.	p. 406
Fig. 8	<i>Lamellaptychus aplanatus</i> GILLIÉRON 78 m (64 m), MB208, J30815, 2 ×.	p. 403	Fig. 22	<i>Lamellaptychus ambiguus</i> RENZ 50 m (42 m), J30830, 3 ×.	p. 406
Fig. 9	<i>Lamellaptychus aplanatus</i> GILLIÉRON 47 m (39 m), J30816, 3 ×.	p. 403	Fig. 23	<i>Lamellaptychus</i> aff. <i>angulodidayi</i> TRAUTH 70 m (58 m), J30837, 2 ×.	p. 408
Fig. 10	<i>Lamellaptychus aplanatus</i> GILLIÉRON 87 m (72 m), J30818, 3 ×.	p. 403	Fig. 24	<i>Lamellaptychus</i> ? aff. <i>L. bicurvatus</i> new form 71 m (59 m), J30842, 2 ×.	p. 409
Fig. 11	<i>Lamellaptychus</i> aff. <i>aplanatus</i> GILLIÉRON 61.5 m (51 m), J30810, 3 ×.	p. 403	Fig. 25	<i>Lamellaptychus bicurvatus</i> new name 71 m (59 m), J30838, 2 ×.	p. 409
Fig. 12	<i>Lamellaptychus symphysocostatus</i> TRAUTH 51 m (53 m), J30827, 3 ×.	p. 406	Fig. 26	<i>Lamellaptychus bicurvatus</i> new name 75 m (63 m), J30841, 2 ×.	p. 409
Fig. 13	<i>Lamellaptychus symphysocostatus</i> TRAUTH 78 m (64 m), MB208, J30829, 3 ×.	p. 406	Fig. 27	<i>Lamellaptychus bicurvatus</i> new name 71 m (59 m), J30839, 2 ×.	p. 409
Fig. 14	<i>Lamellaptychus symphysocostatus</i> TRAUTH Betic Cordillera, Archidona, Provincia Malaga, Spain, J30888, 3 ×.	p. 406	Fig. 28	<i>Lamellaptychus bicurvatus</i> new name 71 m (59 m), J30840, 2 ×.	p. 409
			Fig. 29	<i>Lamellaptychus ticinensis</i> new name 75 m (63 m), J30843, 2 ×.	p. 409
			Fig. 30	<i>Lamellaptychus ticinensis</i> new name 75 m (63 m), J30844, 3 ×.	p. 409
			Fig. 31	<i>Lamellaptychus</i> ? aff. <i>ticinensis</i> new name 75 m (63 m), J30845, 3 ×.	p. 409



Plate 4

Valanginian continued		Hauterivian, Maiolica Formation	
Fig. 1	<i>Lamellaptychus ticinensis</i> new name 75 m (63 m), J30846, 3x.	Fig. 13	<i>Lamellaptychus subseranonis</i> RENZ 86 m (71 m), MB61, J30857, 2x.
Fig. 2	<i>Lamellaptychus ticinensis</i> new name 75 m (63 m), J30847, 2x.	Fig. 14	<i>Lamellaptychus subseranonis</i> RENZ 86 m (71 m), J30858, 2x.
Fig. 3	<i>Lamellaptychus ticinensis</i> new name 79 m (65 m); J30848, 3x.	Fig. 15	<i>Lamellaptychus subseranonis</i> RENZ 86 m (71 m), J30859, 2x.
Fig. 4	<i>Lamellaptychus morbiensis</i> new form 75 m (63 m), J30849, 3x, holotype	Fig. 16	<i>Lamellaptychus subseranonis</i> RENZ 86 m (71 m), J30860, 3x.
Fig. 5	<i>Lamellaptychus didayi</i> TRAUTH 50 m (42 m), J30819, 3x.	Fig. 17	<i>Lamellaptychus seranonis</i> COQUAND 87 m (72 m), J30863, 3x.
Fig. 6	<i>Lamellaptychus didayi</i> TRAUTH 71 m (59 m), J30820, 2x.	Fig. 18	<i>Lamellaptychus subseranonis</i> RENZ 89 m (74 m), J30861, 2x.
Fig. 7	<i>Lamellaptychus angulodidayi</i> TRAUTH 75 m (63 m), J30851, 2x.	Fig. 19	<i>Lamellaptychus seranonis</i> COQUAND 97 m (81 m), J30864, 3x.
Fig. 8	<i>Lamellaptychus</i> form indet. 75 m (63 m), J30852, 2x.	Fig. 20	<i>Lamellaptychus seranonis fractocostus</i> TRAUTH 97 m (81 m), J30869, 3x.
Fig. 9	<i>Lamellaptychus mendristiensis</i> new form 75 m (63 m), J30853, 3x.	Fig. 21	<i>Lamellaptychus subseranonis</i> RENZ 86 m (71 m), J30866, 2x.
Fig. 10	<i>Lamellaptychus morbiensis</i> new form 75 m (63 m), J30850, 3x, paratype	Fig. 22	<i>Lamellaptychus tethis</i> new name 97 m (81 m), J30862, 2x.
Fig. 11	<i>Lamellaptychus subseranonis</i> RENZ 75 m (63 m), J30854, 3x.	Fig. 23	<i>Lamellaptychus seranonis</i> COQUAND 110 m (92 m), J30867, 2x.
Fig. 12	<i>Lamellaptychus subseranonis</i> RENZ 75 m (63 m), J30855, 3x.	Fig. 24	<i>Lamellaptychus seranonis fractocostus</i> TRAUTH 110 m (92 m), J30871, 2x.
		Fig. 25	<i>Lamellaptychus seranonis fractocostus</i> TRAUTH 107 m (89 m), J30870, 3x.



Plate 5

	Hauterivian continued				
Fig. 1	<i>Lamellaptychus seranonis fractocostus</i> TRAUTH 110 m (92 m), J30882, 3×.		Fig. 14	<i>Lamellaptychus atlanticus</i> (HENNIG) 144 m (119 m), DB2720, J30900, 3×.	p. 415
Fig. 2	<i>Lamellaptychus seranonis</i> (COQUAND) 110 m (92 m), J30889, 2×.	p. 412	Fig. 15	<i>Lamellaptychus angulocostatus</i> (PETERS) 144 m (119 m), DB2721, J30894, 2×.	p. 413
Fig. 3	<i>Lamellaptychus seranonis</i> (COQUAND) 110 m (92 m), J30890, 2×.	p. 412	Fig. 16	<i>Lamellaptychus atlanticus</i> (HENNIG) 133 m (110 m), MB87b, J30917, 1.5×.	p. 415
Fig. 4	<i>Lamellaptychus seranonis</i> (COQUAND) 110 m (92 m), J30891, 3×.	p. 412		Addenda, Valanginian	
Fig. 5	<i>Lamellaptychus seranonis</i> (COQUAND) 110 m (92 m), J30892, 2×.	p. 412	Fig. 17	<i>Lamellaptychus elegans</i> RENZ 50 m (42 m), J30911, 2×.	p. 402
Fig. 6	<i>Lamellaptychus seranonis</i> (COQUAND) 110 m (92 m), J30893, 3×.	p. 412	Fig. 18	<i>Lamellaptychus elegans</i> RENZ 50 m (42 m), J30910, 2×.	p. 402
	Barremian, Maiolica Formation		Fig. 19	<i>Lamellaptychus</i> aff. <i>ambiguus</i> RENZ 50 m (42 m), J30918, 2.5×.	p. 406
			Fig. 20	<i>Lamellaptychus</i> aff. <i>ambiguus</i> RENZ 50 m (42 m), J30919, 2.5×.	p. 406
Fig. 7	<i>Lamellaptychus angulocostatus cristobalensis</i> O'CONNELL 109.5 m, DB2718a, J30886, 2×.	p. 414	Fig. 21	<i>Lamellaptychus bahamensis</i> RENZ 50 m (42 m), J30916, 2.5×.	p. 403
Fig. 8	<i>Lamellaptychus</i> aff. <i>angulocostatus</i> (PETERS) 126 m (105 m), MB81, J30883, 1.5×.	p. 415	Fig. 22	<i>Lamellaptychus bahamensis</i> RENZ 50 m (42 m), J30915, 2×.	p. 403
Fig. 9	<i>Lamellaptychus angulocostatus</i> (PETERS) 109.5 m DB2718b, J30872, 2×.	p. 413	Fig. 23	<i>Lamellaptychus bahamensis</i> RENZ 50 m (42 m), J30914, 2.5×.	p. 403
Fig. 10	<i>Lamellaptychus angulocostatus</i> (PETERS) 133 m (110 m), MB87c, J30885, 1.5×.	p. 413	Fig. 24	<i>Lamellaptychus bahamensis</i> RENZ 50 m (42 m), J30913, 2.5×.	p. 403
Fig. 11	<i>Lamellaptychus angulocostatus cristobalensis</i> (O'CONNELL) 133 m (110 m), MB87, J30876, 2×.	p. 414	Fig. 25	<i>Laevilamellaptychus</i> ? new form 57 m (47 m), MB205, J30912, 3×.	p. 407
Fig. 12	<i>Lamellaptychus angulocostatus</i> (PETERS) 118.5 m DB2720, J30884, 3×.	p. 413	Fig. 26	<i>Neocomites</i> sp. indet. 75 m (63 m), J30920, 2×.	p. 388
Fig. 13	<i>Lamellaptychus angulocostatus cristobalensis</i> (O'CONNELL) 133 m (110 m), MB87b, J30887, 1.5×.	p. 414			



